

01;02;03

© 1994

**О ВЛИЯНИИ НЕЛИНЕЙНЫХ ЭФФЕКТОВ  
В ТЕОРИИ ТЕРМОФОРЕЗА  
УМЕРЕННО КРУПНЫХ НЕЛЕТУЧИХ  
СФЕРИЧЕСКИХ АЭРОЗОЛЬНЫХ ЧАСТИЦ**

*P.A. Сафиуллин, Ю.И. Яламов*

Известно, что в неоднородной по температуре газовой среде аэрозольная частица испытывает действие термофоретической силы. В работах [1-3] рассматривался термофорез нелетучей умеренно крупной сферической частицы в разреженном газе. Гидродинамическим методом были получены выражения для термофоретической скорости частицы. При этом пренебрегали инерционными членами уравнений Навье-Стокса.

В настоящей работе рассматривается теория термофореза умеренной крупной нелетучей сферической аэрозольной частицы с учетом главных инерционных членов в уравнении гидродинамики Навье-Стокса.

Рассмотрим сферическую аэрозольную частицу с радиусом  $R$ , обтекаемую неоднородным по температуре  $T_e$  потоком газа. Частица взвешена в умеренно разреженном однокомпонентном газе. Предположим, что  $R$  удовлетворяет условию  $0.01 < \lambda/R \leq 0.3$ , где  $\lambda/R = \text{Кп}$  — число Кнудсена,  $\lambda$  — средняя длина свободного пробега газовых молекул. Скорость газа  $\mathbf{U}$  и градиент температуры  $\nabla T_e$  на большом расстоянии от частицы постоянны. Поместим начало сферической системы координат  $r, \Theta, \Phi$  в центре частицы, полярную ось  $\theta = 0$  направим вдоль векторов  $\mathbf{U}$  и  $\nabla T_e$ . При таком выборе положения начала координат удобно частицу считать покоящейся, а центр тяжести внешней среды — движущимся относительно частицы при  $r \rightarrow \infty$  со скоростью  $\mathbf{U} = -\mathbf{U}_T$ .

Распределение скоростей, давлений и температуры во внешней среде описываются стационарными уравнениями Навье-Стокса и теплопроводности [1].

Используем граничные условия на поверхности частицы (при  $r = R$ ) с учетом всех эффектов, линейных по числу Кнудсена [2,3]:

$$V_r^{(\epsilon)} = C_v \frac{\lambda}{R} \frac{\nu_e}{RT_e} \frac{1}{\sin \theta} \frac{\partial}{\partial \theta} \left( \sin \theta \frac{\partial T_e}{\partial \theta} \right), \quad (1)$$

$$V_{\theta}^{(e)} = K_{TS}^{(0)} \left[ 1 + \frac{\lambda}{R} \beta'_R + \frac{\lambda}{R} \sigma_T \beta_R \right] \frac{\nu_e}{R} \frac{\partial \ln T_e}{\partial \theta} - \\ - K_{TS}^{(0)} \frac{\lambda}{R} \beta_B \frac{\nu_e}{2T_e} T_{r\theta} + C_m \frac{\lambda}{R} \Pi_{r\theta}, \quad (2)$$

$$T_e - T_i = C_T \lambda \frac{\partial T_e}{\partial r}, \quad (3)$$

$$-\kappa_e \frac{\partial T_e}{\partial r} + \kappa_i \frac{\partial T_i}{\partial r} = -C_q \frac{\lambda}{R} \frac{\kappa_e}{r} \frac{1}{\sin \theta} \frac{\partial}{\partial \theta} \left( \sin \theta \frac{\partial T_e}{\partial \theta} \right), \quad (4)$$

где

$$\sigma_T = \left( \frac{\partial^2 \ln T_e}{\partial r \partial \theta} \right) \left[ \frac{\partial \ln T_e}{R \partial \theta} \right]^{-1}, \quad T_{r\theta} = R \left[ r \frac{\partial}{\partial r} \left( \frac{1}{r^2} \frac{\partial T_e}{\partial \theta} \right) + \frac{1}{r} \frac{\partial^2 T_e}{\partial \theta^2} \right], \\ \Pi_{r\theta} = R \left[ r \frac{\partial}{\partial r} \left( \frac{V_{\theta}^{(e)}}{r} \right) + \frac{1}{r} \frac{\partial V_r^{(e)}}{\partial \theta} \right].$$

На большом расстоянии от частицы (при  $r \rightarrow \infty$ ) имеем следующие граничные условия:

$$V_r^{(e)} = |\mathbf{U}| \cos \theta, \quad (5)$$

$$V_{\theta}^{(e)} = -|\mathbf{U}| \sin \theta, \quad (6)$$

$$T_e = T_{oe} + |(\nabla T_e)_{\infty}| r \cos \theta, \quad (7)$$

где  $\nu_e = \eta_e / \rho_e$  — коэффициент кинематической вязкости газа;  $r, \theta$  — полярные координаты;  $V_r^{(e)}, V_{\theta}^{(e)}$  — компоненты вектора скорости в сферической системе координат;  $C_m, C_T, \kappa$  — коэффициенты изотермического скольжения, скачка температуры и теплопроводности;  $T_{oe}$  — температура газа вдали от частицы;  $C_q$  и  $C_v$  — коэффициенты потоков тепла и массы, растекающихся в слое Кнудсена [2,3];  $\beta_R, \beta'_R$  — поправки на кривизну поверхности к  $K_{TS}^{(0)}$  первого порядка по  $\lambda/R$ ;  $\beta_B$  — коэффициент барнеттовского скольжения. Индексы  $e, i$  принадлежат величинам, характеризующим внешнюю среду и частицу.

В работе [2] приведены выражения для газокинетических коэффициентов  $K_{TS}^{(0)}, \beta_R, \beta'_R, \beta_B, C_T, C_m, C_v, C_q$ , которые находятся в процессе решения уравнения Больцмана в слое Кнудсена.

При решении системы уравнений гидродинамики будем считать числа Рейнольдса ( $Re = UR/\nu_e$ ) достаточно малыми, чтобы можно было применить метод Озенна. Выражения для давления и скоростей с учетом граничных условий (5) и (6) можно найти в [4]. Решения уравнения стационарной теплопроводности с учетом граничных условий (3), (4) и (7) приведены в работе [1].

Величина равнодействующей всех сил  $\mathbf{F}$ , приложенных к элементам сферической поверхности, определяется интегрированием компонент тензора вязких напряжений  $P_{rr}$  и  $P_{r\theta}$  и равна сумме вязкой  $\mathbf{F}_B$  и термофоретической силы  $\mathbf{F}_T$ . Аналитический вид компонент тензора вязких напряжений  $P_{rr}$  и  $P_{r\theta}$  в сферических координатах можно найти в [4]. С учетом (1) и (2) найдем выражения для  $\mathbf{F}_T$  и  $\mathbf{F}_B$ :

$$\mathbf{F}_B = 6\pi\eta_e UR \frac{1 + 2C_m \frac{\lambda}{R}}{1 + 3C_m \frac{\lambda}{R}} \left( 1 + \frac{3}{8} Re \frac{1 + 2C_m \frac{\lambda}{R}}{1 + 3C_m \frac{\lambda}{R}} \right), \quad (8)$$

$$\begin{aligned} \mathbf{F}_T = & 4\pi\eta_e \alpha R \frac{1 + 6C_m \frac{\lambda}{R}}{1 + 3C_m \frac{\lambda}{R}} \left( 1 + \frac{3}{8} Re \frac{1 + 2C_m \frac{\lambda}{R}}{1 + 3C_m \frac{\lambda}{R}} \right) - \\ & - 12\pi\eta_e \beta R \frac{1}{1 + 3C_m \frac{\lambda}{R}} \left( 1 + \frac{3}{8} Re \frac{1 + 2C_m \frac{\lambda}{R}}{1 + 3C_m \frac{\lambda}{R}} \right), \end{aligned} \quad (9)$$

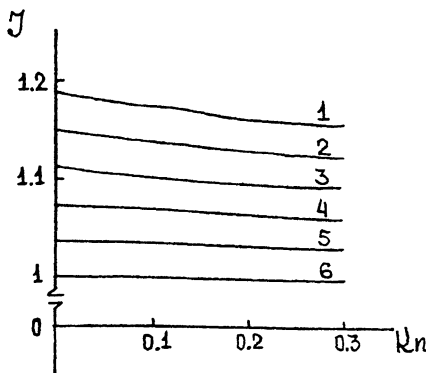
где

$$\alpha = 3C_v K_n \nu_e \nabla \ln T_e \frac{\left(\frac{\kappa_e}{\kappa_i} + C_T \frac{\lambda}{R}\right)}{M}, \quad (10)$$

$$\begin{aligned} \beta = & K_{TS}^{(0)} \nu_e \nabla \ln T_e \times \\ & \times \left[ \left( 1 + \beta'_R \frac{\lambda}{R} + \beta_R \frac{\lambda}{R} \sigma_T \right) \frac{\left(\frac{\kappa_e}{\kappa_i} + C_T \frac{\lambda}{R}\right)}{M} + \beta_B \frac{\lambda}{R} \frac{N}{M} \right], \end{aligned} \quad (11)$$

$$\begin{aligned} N = & \left[ 1 - \frac{\kappa_e}{\kappa_i} - C_T \frac{\lambda}{R} - C_q \frac{\lambda}{R} \frac{\kappa_e}{\kappa_i} \right], \\ M = & \left[ 1 - \frac{\kappa_e}{\kappa_i} - C_T \frac{\lambda}{R} - C_q \frac{\lambda}{R} \frac{\kappa_e}{\kappa_i} \right]. \end{aligned} \quad (12)$$

При  $\mathbf{F} = 0$  можно получить выражение для  $U_T$ . Тогда для скорости термофореза с точностью до линейных по числу  $K_n$  членов получим выражение:



Зависимость величины  $J$  от числа  $\text{Kn}$  при различных числах  $\text{Re}$ .  
 1 —  $\text{Re} = 0.5$ , 2 — 0.4, 3 — 0.3, 4 — 0.2, 5 — 0.1, 6 — 0.

$$\mathbf{U}_T = -2K_{TS}^{(0)}\nu_e \nabla \ln T_e \times \\ \times \left\{ \frac{\kappa_e}{\kappa_i} + \frac{\lambda}{R} \left[ C_T + \beta_R + \beta_B + \frac{\kappa_e}{\kappa_i} \left( \beta'_R - \beta_B - \frac{C_v}{K_{TS}^{(0)}} \right) \right] \right\} \times \\ \times \left\{ \left( 1 + 3C_m \frac{\lambda}{R} \right) \left( 1 + 2\frac{\kappa_e}{\kappa_i} + 2C_T \frac{\lambda}{R} - 2C_q \frac{\lambda}{R} \frac{\kappa_e}{\kappa_i} \right) \right\}^{-1}. \quad (13)$$

Скорость термофореза такой частицы остается нечувствительной к учету инерционного члена в уравнениях гидродинамики (см. [1,2]) в рамках подхода, разработанного Озеном [1–4].

Учет инерционного члена в уравнениях гидродинамики приводит к появлению дополнительного (по сравнению с задачей Стокса) множителя  $[1+3/8\text{Re}(1+2C_m\text{Kn})/(1+3C_m\text{Kn})]$  в выражениях для термофоретической силы (9) и силы вязкого сопротивления (8).

Были проведены численные расчеты отношения термофоретической силы с учетом инерционных сил (9) к силе термофореза без учета этих сил ( $J = F_T^{(\text{Re})}/F_T$ ) от числа  $\text{Kn}$  в интервале значений  $0 \leq \text{Kn} \leq 0.3$ . На рисунке представлены графики зависимости  $J$  от  $\text{Kn}$  при различных числах Рейнольдса ( $\text{Re}$ ). Из графиков видно, что с увеличением влияния инерционных сил ( $0 \leq \text{Re} \leq 0.5$ ) термофоретическая сила увеличивается до 18% от основного эффекта.

## Список литературы

- [1] Яламов Ю.И., Галоян В.С. Динамика капель в неоднородных вязких средах. Ереван, 1985. 208 с.
- [2] Маясов Е.Г., Юшканов А.А., Яламов Ю.И. // Письма в ЖТФ. 1988. Т. 14. С. 498–502.
- [3] Поддоскин А.В., Юшканов А.А., Яламов Ю.И. // ЖТФ. 1982. Т. 52. В. 11. С. 2253–2261.
- [4] Кочин Н.Е., Кибель И.А., Розе Н.В. Теоретическая гидродинамика. М., 1948. 612 с.

Московский педагогический  
университет

Поступило в Редакцию  
11 июля 1994 г.